



Fluides de travail pour la production de froid

Aspects calorimétriques

J-Yves Coxam

Colloque SFGP-SFT du groupe de travail Thermodynamique sur :
Les fluides de travail pour la production de froid
Mercredi 15 mars 2017

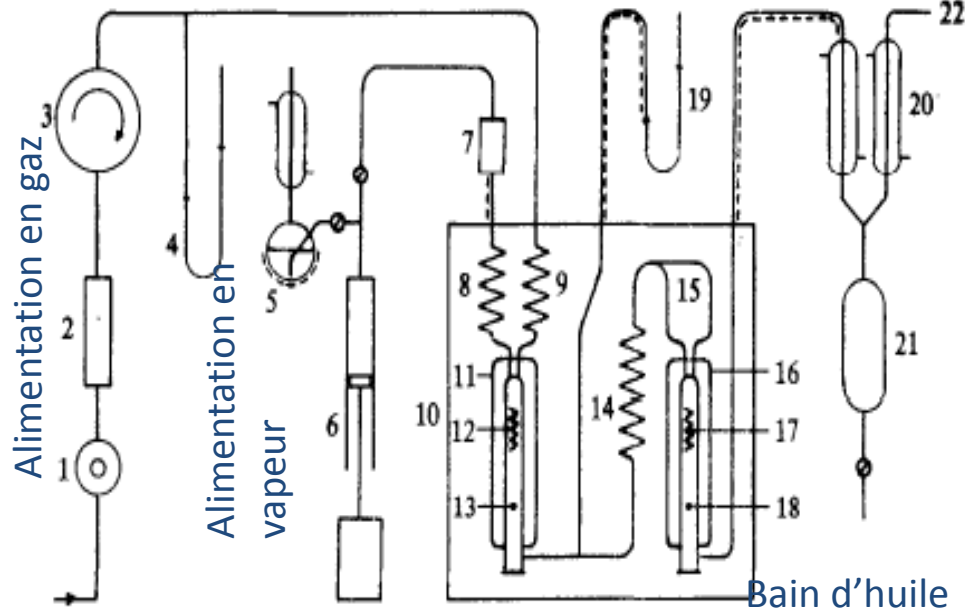


Calorimétrie de mélange à basse température

Auteur	T / K	Pression	Fluides
Wormald Wormald, C. J. <i>J. Chem. Thermodyn.</i> 9 , 901(1977) Elliott, K. and Wormald, C. J. <i>J. Chem. Thermodyn.</i> 8 , 881-893 (1976)	200 - 400	P_{atm} – 10 MPa	gaz-gaz
Zollweg Gopal, P.; Zollweg, J. A. and Streett, W. B. <i>Rev. Sci. Instrum.</i> 60 , 2720(1989)	77 - 300	P_{atm} – 15 MPa	Liq-Liq Liq-gaz Gaz-gaz
Siddiqi Siddiqi, M. A. and Lucas, K. J. <i>J. Chem. Thermodyn.</i> 14 , 1183(1982)	270-475	P_{atm} – 40 MPa	Liq-Liq Liq-gaz Gaz-gaz
Christensen Christensen, J. J.; Izatt, R. M.; Eatough, D. J. and Hansen, L. D. <i>J. Chem. Thermodyn.</i> 10 , 25(1978) Ott, J. B.; Stouffer, C. E.; Cornett G.V.; Woodfield, B. F.; Wirthlin, R. C.; Christensen, J. J. and Deiters, U. K. <i>J. Chem. Thermodyn.</i> 18 , 1-12 (1986)	270 - 343	P_{atm} – 40 MPa	Liq-Liq Liq-gaz
Poledníček M. Polednicek, V. Majer, V. Hynek, J. JoseReview Of Scientific Instruments 76, 074102 2005	243 – 348	P_{atm} – 14 MPa	Liq-Liq Liq-gaz

Calorimètre Wormald / Montage

C. J. Wormald J. Chem.T hermodynamics 1977,9, 901-910



gas

- 1 flow controller
- 2 dryer calcium chloride
- 3 oil-filled rotary gasmeter
- 4 manometer
- 5 degassing by boiling in flask 5.

Vapor

- 6 screw-driven speed piston pump
- 7 boiler
- 8-9 heat-exchange coils
- 10 oil bath 10 controlled to 0.002 K

Mixing cell

- 11-16 mixing point
- 12-17 heater
- 13-18 temperature sensors

- 14 heat-exchange coil
- 19 mercury manometer 19
- 20 condenser
- 21 collecting vessel

Calorimètre isotherme à écoulement

Montage différentiel

T : 363 – 413 K (bain thermostaté)

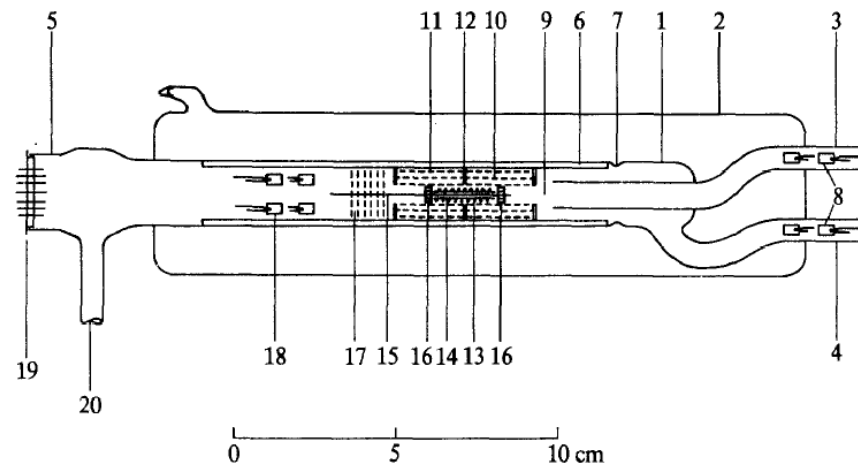
P : atmosphérique

Débit : 1 – 2. 5mmol/s

Mélange: gaz - gaz

Calorimètre Wormald / Cellule de mélange

C. J. Wormald J. Chem.T hermodynamics 1977,9, 901-910



Compensation de puissance
Mesure : Effets endothermiques

Temperature entering gases : thermocouples	8
Mixing point :	9
Heater :	13
Temperature gas mixture :	18

Calorimètre Wormald / exemple d'appliacation

C. J. Wormald J. Chem.T hermodynamics 1977,9, 901-910

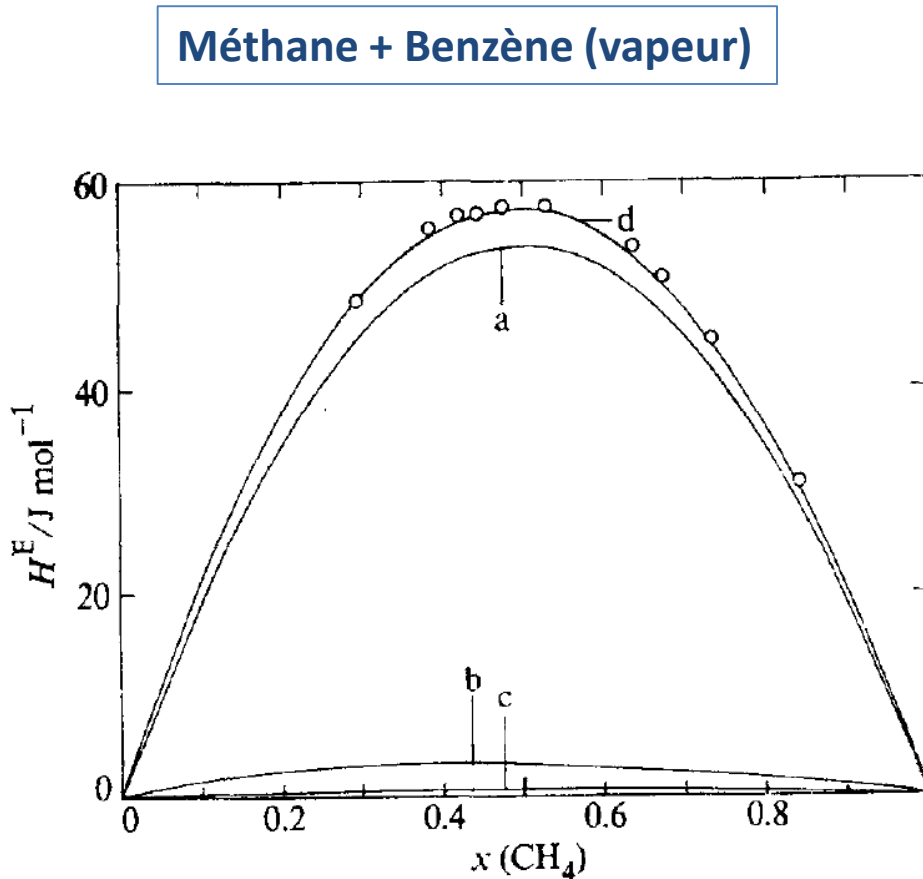
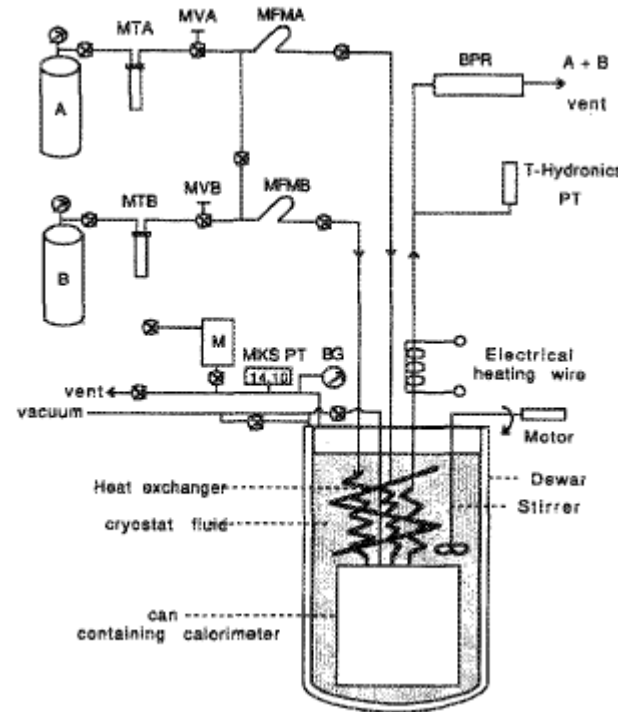


FIGURE 3. Comparison of the experimental results on methane + benzene at 373.15 K with equation (4). Curves a, b, and c are the first, second, and third terms of equation (6). Curve d is the sum of the three terms. ○, This work.

Calorimètre Zollweg / Montage

J.C.G. Calado, P. Palj, J. A. Zollweg, W. R. Thompson Canadian Journal of Chemistry 66(4):626-627 · February 1988
P. Gopal, J.A. Zollweg, W.B. Streett. Rev . Sci. Instrum. 1989 , 60, 2720–2723



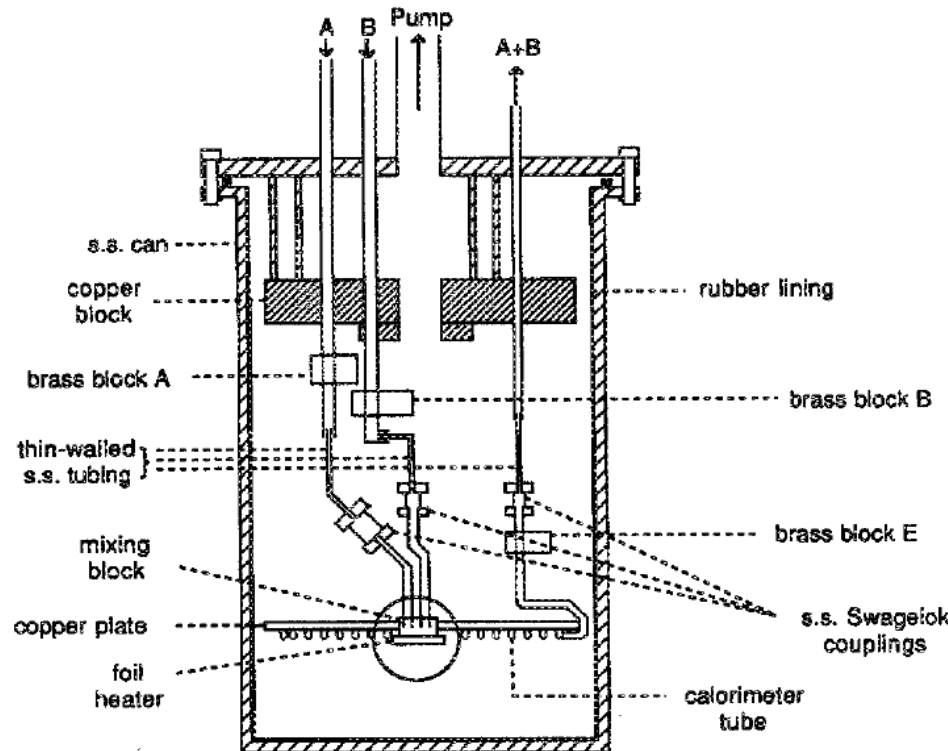
- MT moisture trap
- MV metering valve
- MFM mass flow meter
- PT pressure transducer
- BPR back pressure regulator
- BG bourdon gauge
- M manostat

Calorimètre isotherme à écoulement
Débit : 4 – 10 mmol/s

T : 77K -300K (bain thermostaté)
P : < 2 MPa

Calorimètre Zollweg / Cellule

J.C.G. Calado, P. Palj, J. A. Zollweg, W. R. Thompson Canadian Journal of Chemistry 66(4):626-627 · February 1988
P. Gopal, J.A. Zollweg, W.B. Streett. Rev . Sci. Instrum. 1989 , 60, 2720–2723



Compensation de puissance
Mesure : Effets endothermiques

Calorimètre Zollweg / Exemple d'application

J.C.G. Calado, P. Palj, J. A. Zollweg, W. R. Thompson Canadian Journal of Chemistry 66(4):626-627 · February 1988
P. Gopal, J.A. Zollweg, W.B. Streett. Rev . Sci. Instrum. 1989 , 60, 2720–2723

Azote + éthane

CALADO ET AL.

627

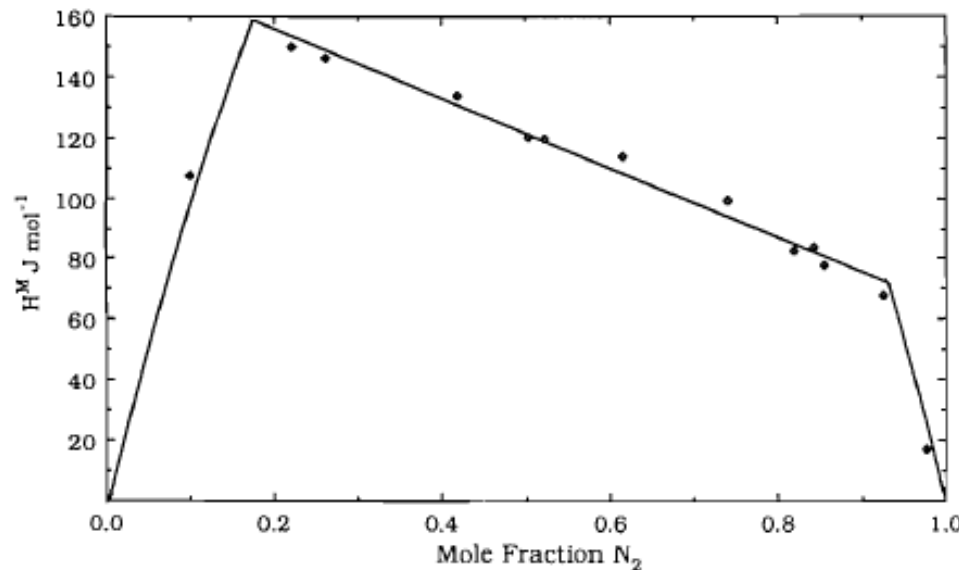


FIG. 1. Heat-of-mixing versus mole fraction for N_2/C_2H_6 at 92.3 K, 0.6309 MPa. The solid line gives a continuous representation of H^M vs. composition.

Calorimètre Siddiqi / Montage

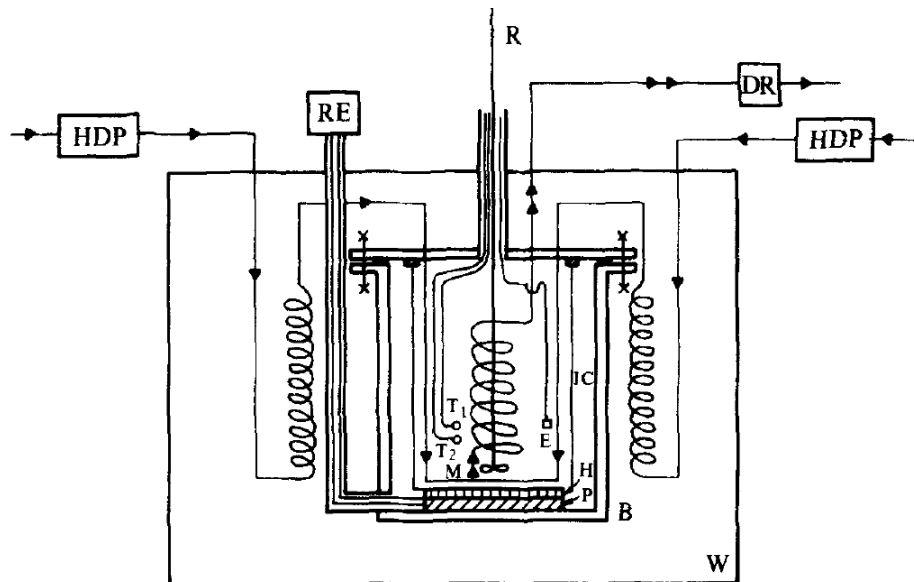


FIGURE 1. Block diagram of the isothermal flow calorimeter. HDP, high-pressure pumps; B, calorimeter vessel; T_1 , monitor thermistor; T_2 , control thermistor; W, constant-temperature bath; IC, inner cell; H, control heater; M, mixing coil; E, calibration heater; DR, pressure regulator; R, glass stirrer; RE, isothermal control electronics; P, Peltier cooler; EC, equilibrating coils.

Calorimètre isotherme à écoulement

T : 243 – 263 K (bain thermostaté)

P : < 42 Pa

Débit : 0.1 – 10 mL/min

Compensation de puissance

Mesure : Effets endothermiques et Exothermiques

Sensibilité : 5 – 500 mW

Calorimètre Christensen BYU / Montage

J.J. Christensen, P.R. Brown and R.M. Izatt *Thermochimica Acta*, 99 (1986), 159-168

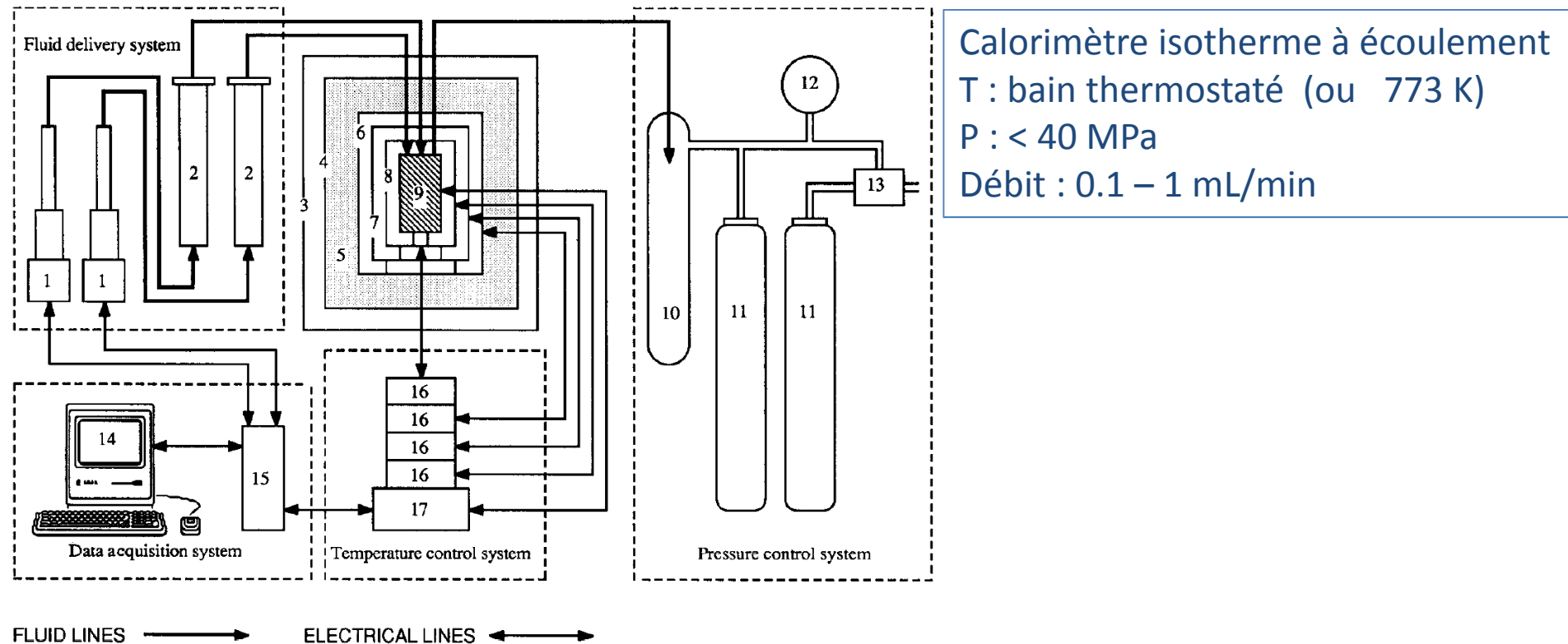
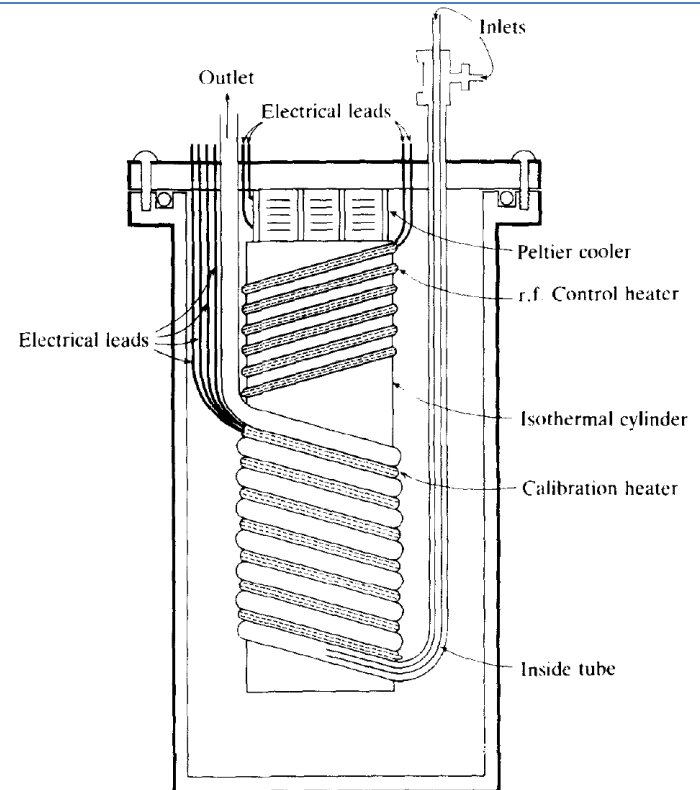
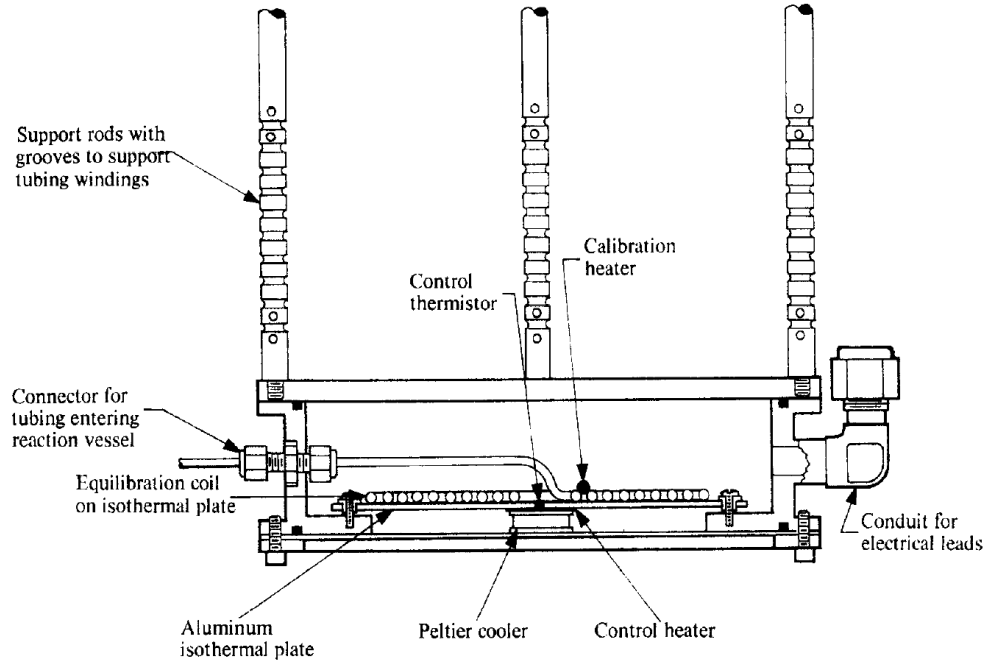


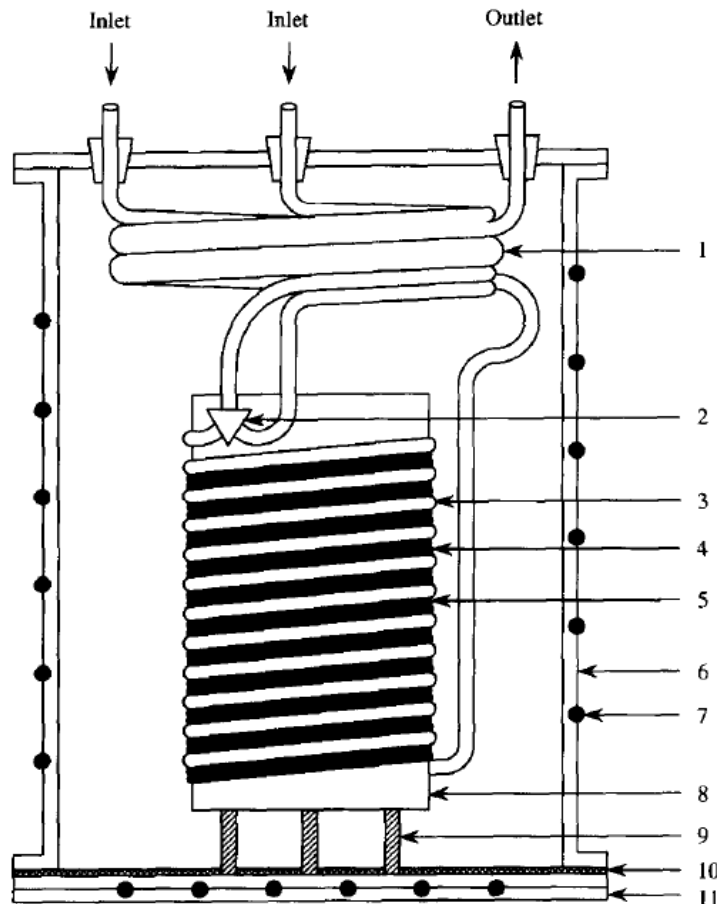
Fig. 1. A schematic diagram of the main components of the calorimeter: 1, pump; 2, pusher; 3, outer can; 4, insulating container; 5, insulation; 6, outer shield; 7, inner shield; 8, reaction vessel; 9, isothermal cylinder; 10, waste solution container; 11, nitrogen tank; 12, pressure gauge; 13, back-pressure regulator; 14, Macintosh Plus computer; 15, computer interface; 16, Tronac PTC-41 temperature controller; 17, Hart Scientific 3704 isothermal control unit.

Calorimètre Christensen / Cellule



Compensation de puissance
Mesure : Effets endothermiques - Effets exothermiques
Sensibilité : 3 mW- 2W
Cellules placées dans bain thermostaté

Calorimètre Christensen BYU / Cellules de mélange



Point de mélange (2)

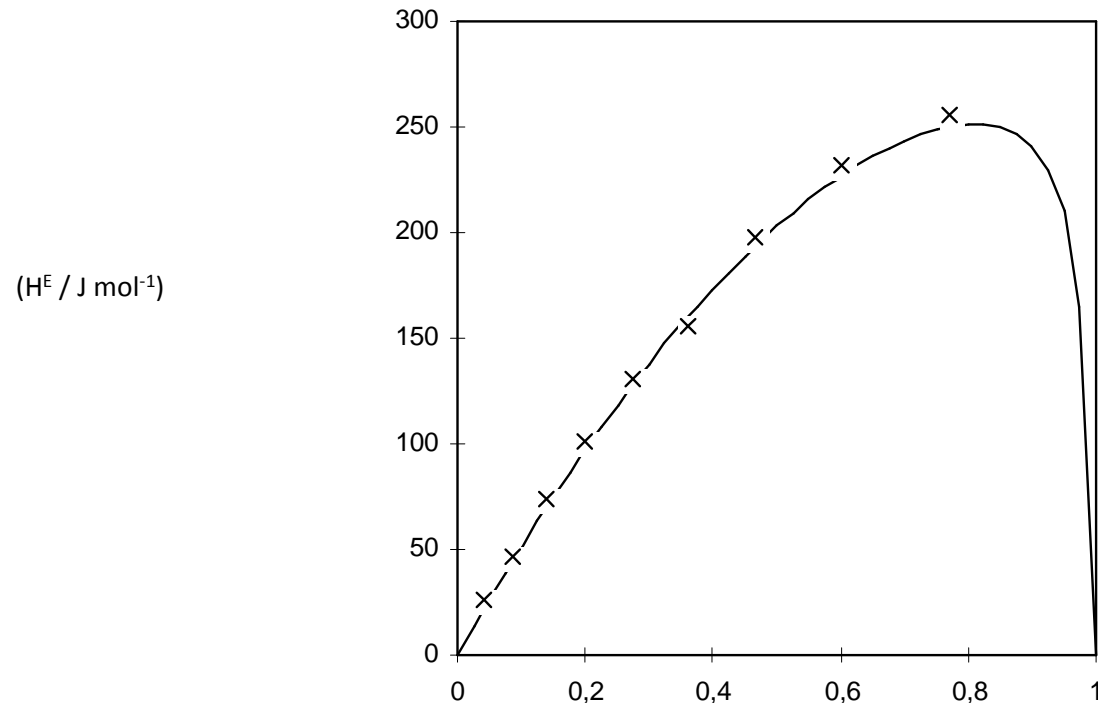
Tube de mélange (3)

Chaussage (4)

Calibration (5)

Pour les effets exothermiques :
compensation de fuites thermiques

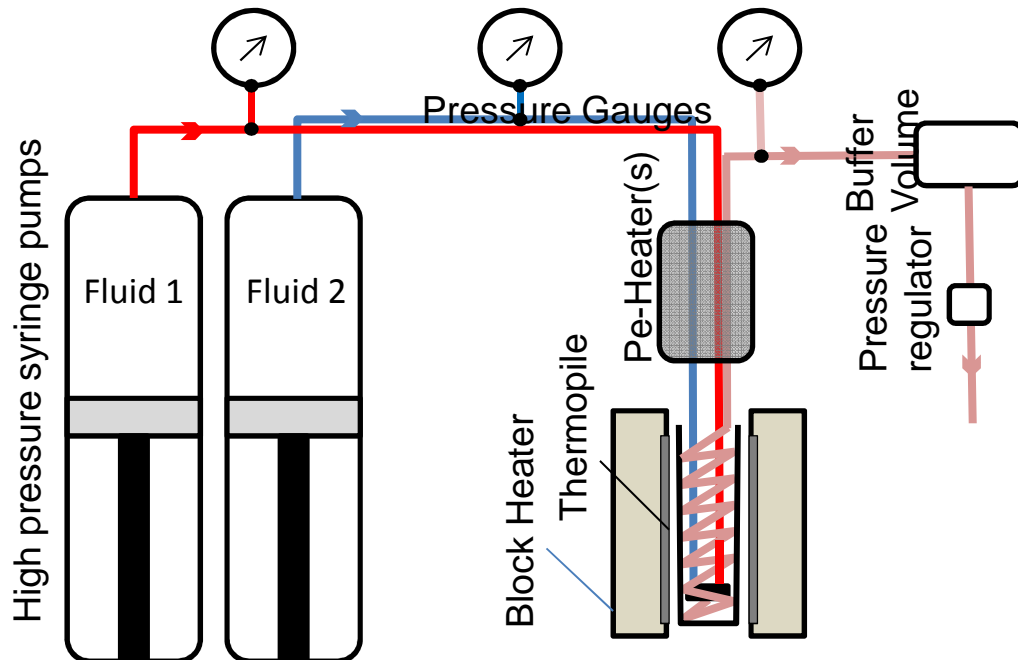
Calorimètre Christensen BYU / Exemple d'Application



Excess enthalpy of toluene (1) and methanol (2) at -17.8° C and 14.4MPa

- × M. Polednicek, V. Majer, V. Hynek, J. JoseReview Of Scientific Instruments 76, 074102 2005
- J.Y. Coxam, S. E. Gillespie, J. L. Oscarson, and R. M. Izatt, J. Chem. Thermodyn. 27, 1133 (1995).

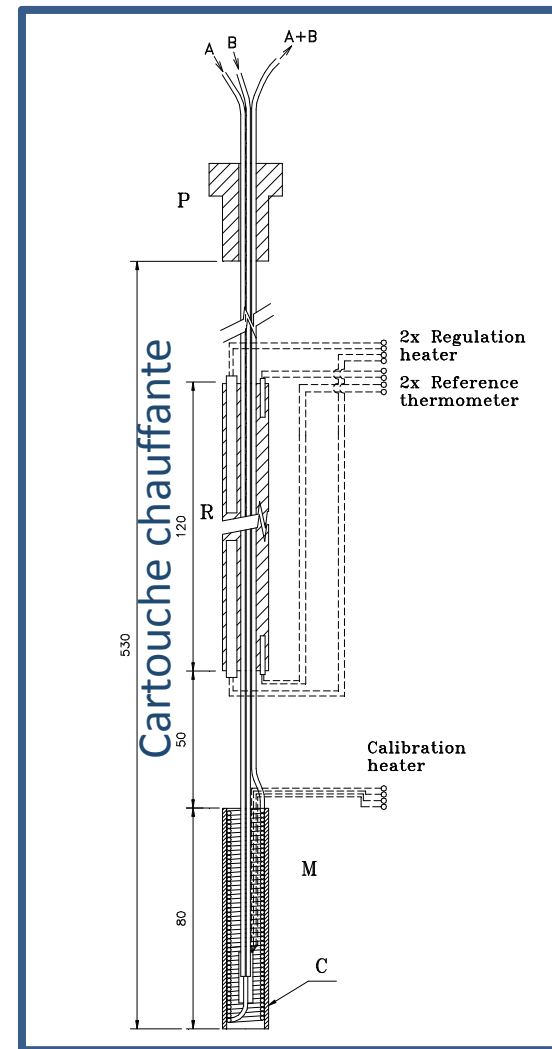
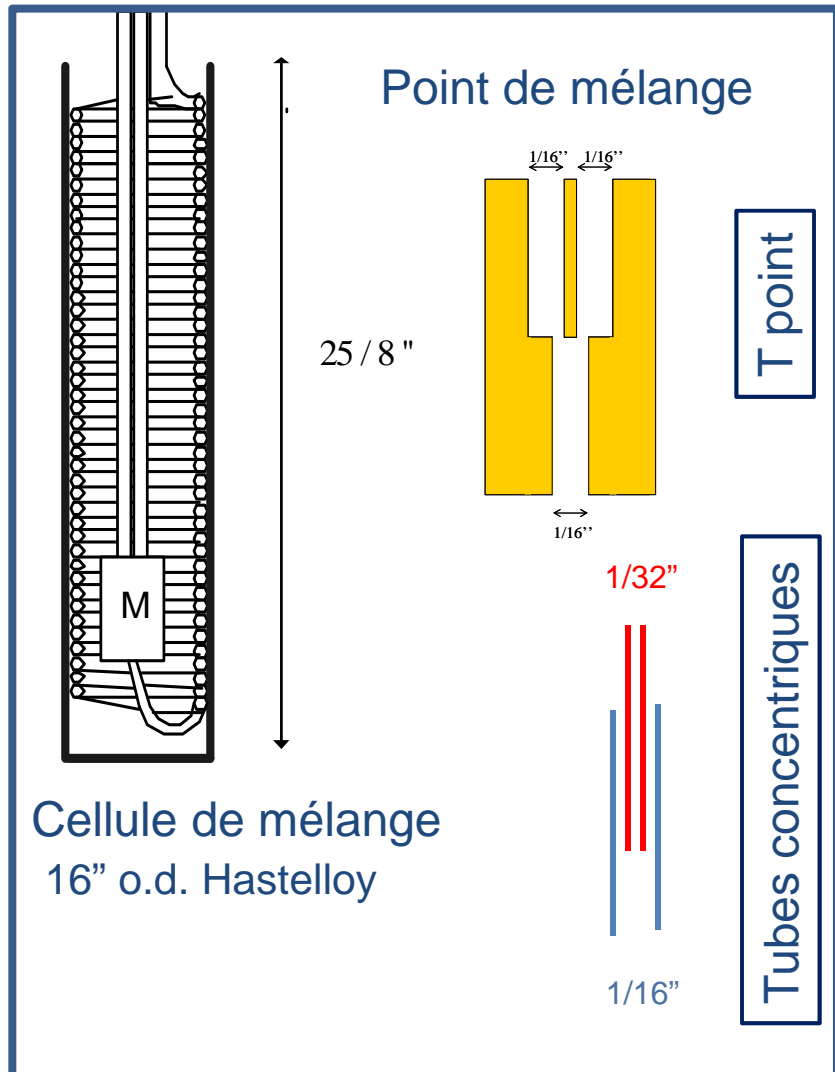
Calorimètre type Calvet / Montage



Calorimètre isotherme à écoulement
T : 173 K - 673 K
P : < 40 MPa
Débit : 0.1 – 1 mL/min

Thermopile
Mesure effet endothermique
effet exothermique
Sensibilité : 0.2 mW- 200 mW

Cellule de mélange

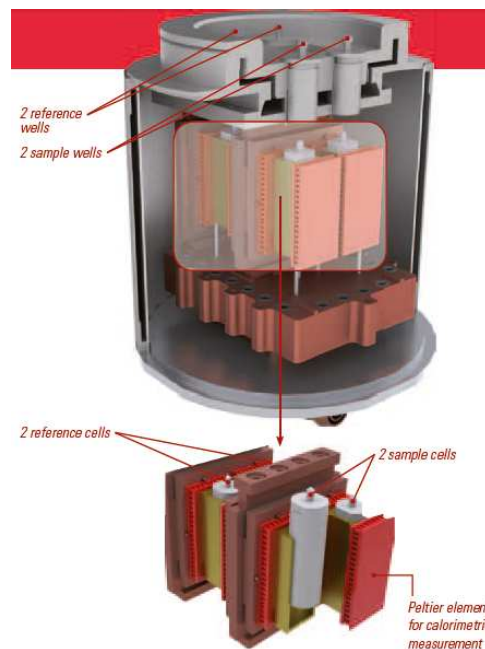


Préchauffage

Calorimètre de mélange à basse température

microSC Setaram

-40 to 200°C / cellules Cp
ou Cp Hp
Volume : 1mL

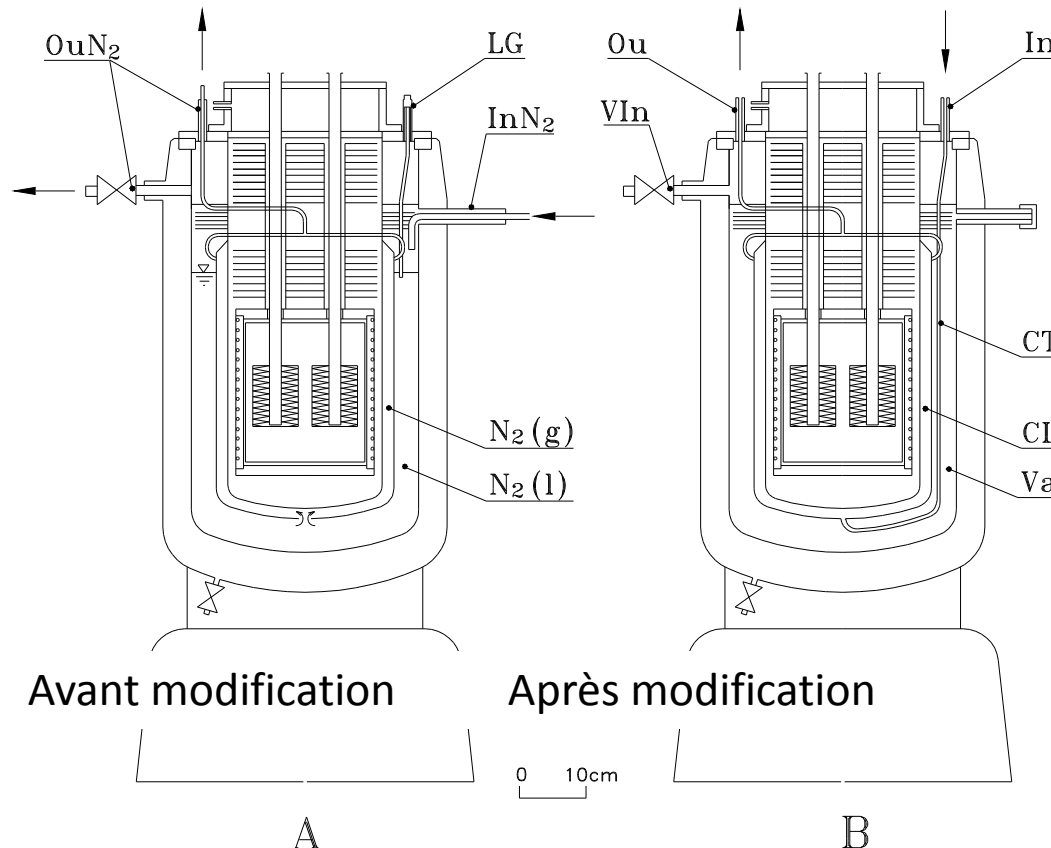


SETARAM BT215

Détection flux métrique différentielle
40 µV/mW
signal (20 – 5000 µV)
Température basse : >170 K
Refroidissement : azote liquide



Modification du BT215



Modification du BT2.15D

InN_2 : entrée N₂ liquide

In : entrée liquide de refroidissement

Vin : vide

CT-tube de connexion ajouté

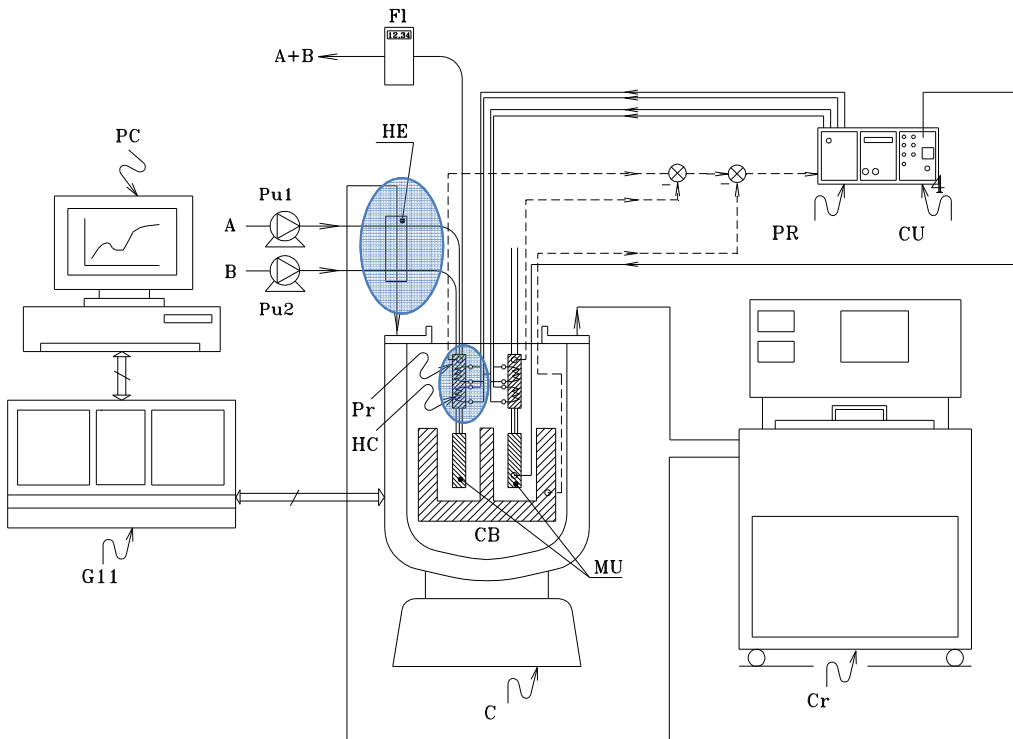
CL- liquide de refroidissement;

OuN_2 :sortie N₂ gaz;

Ou : sortie liquide refroidissement

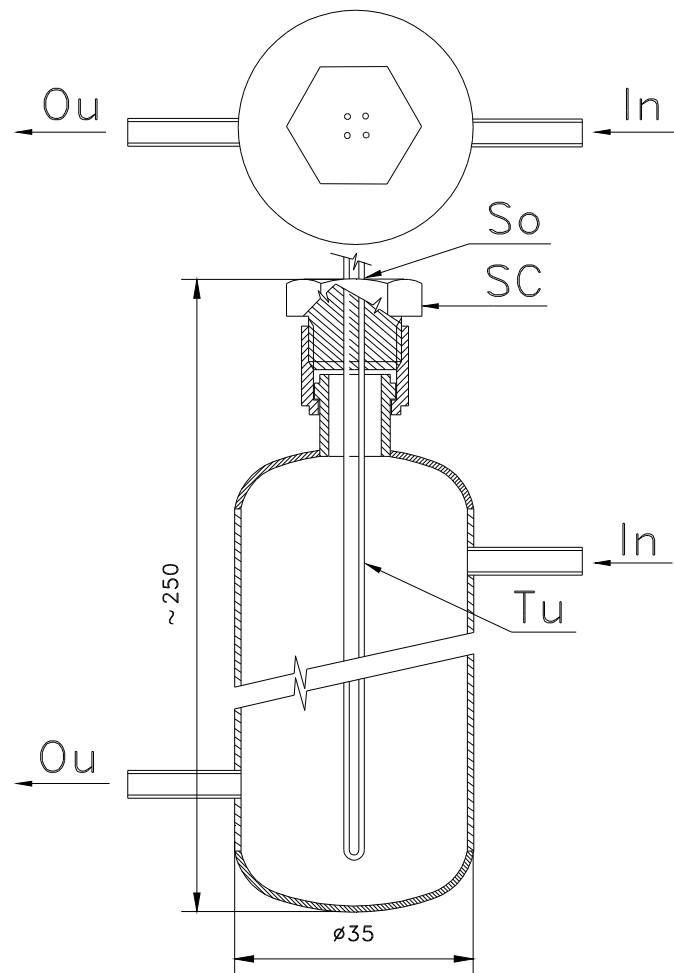
Va : Zone sous vide

Montage calorimétrique

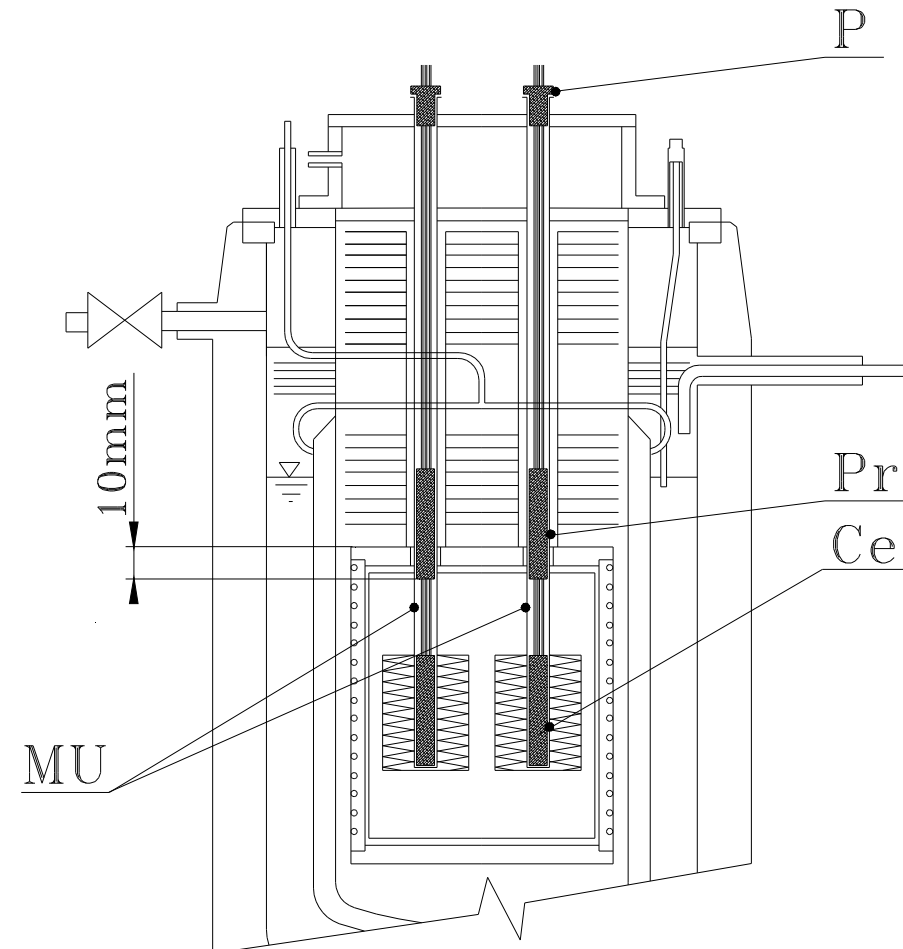


C: calorimètre
Cr: cryostat
HC: cartouche chauffante
HE: échangeur thermique
MU: mixing units;
Pr: pré chauffeur

Mise en température des fluides entrants

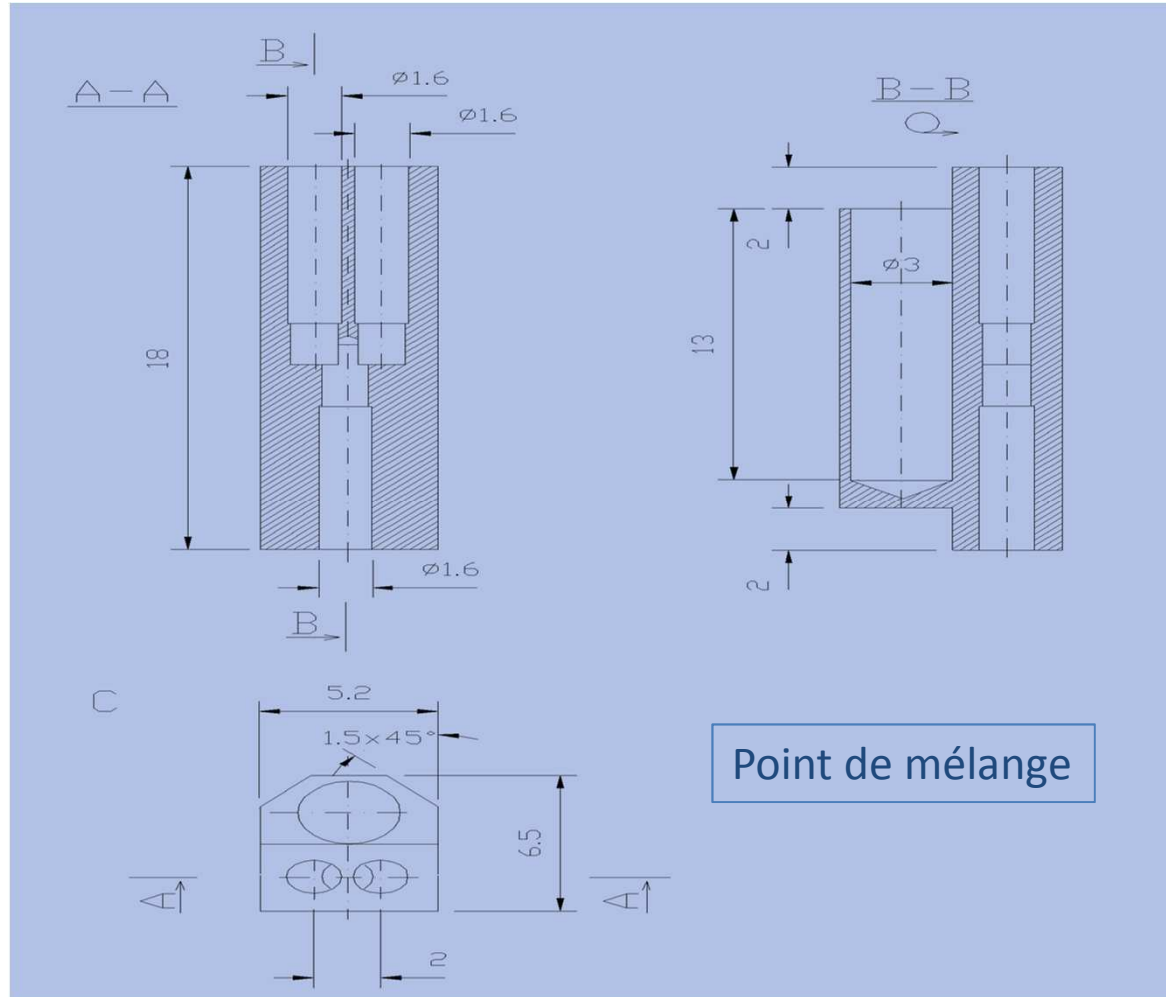


Echangeur thermique



Pré chauffeur

Cellule de mélange



Calibration par effet joule
Resistance chauffante : pt100

Résultats / He □ 1-5 %

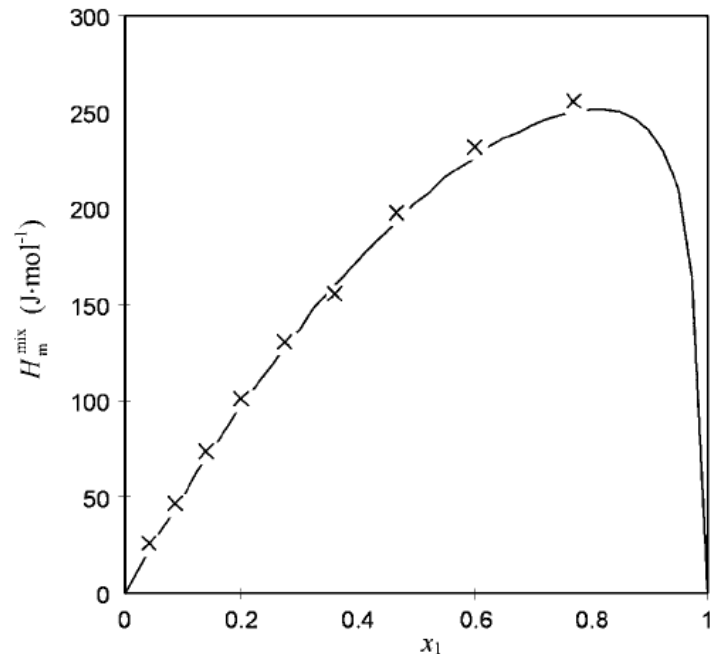
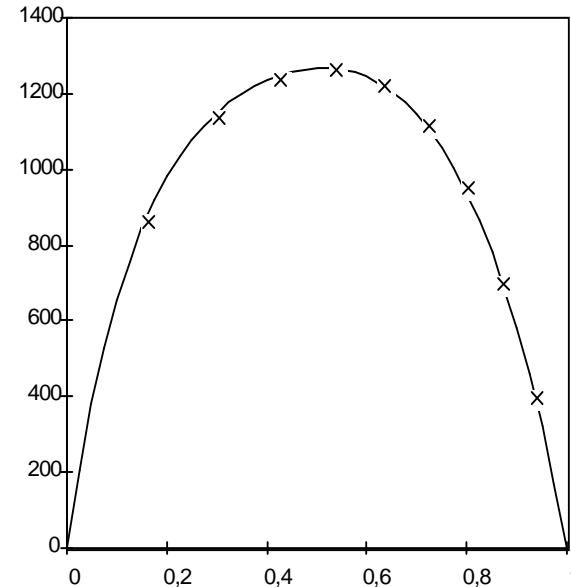


FIG. 9. Heat of mixing of toluene (1) and methanol (2) at $-17.8\text{ }^{\circ}\text{C}$ and 14.4 MPa;—Coxam *et al.* (see Ref. 5); \times this work.

Excess enthalpy of toluene (1) and methanol (2)
at $-17.8\text{ }^{\circ}\text{C}$

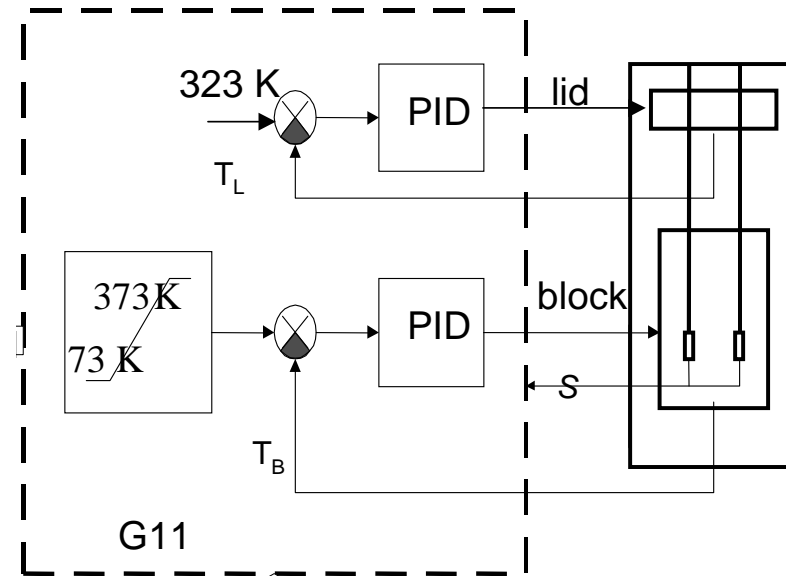
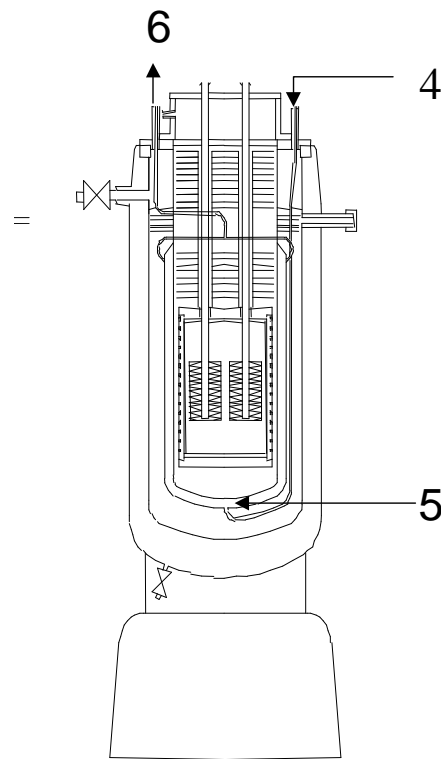
- \times Milos Polednicek (2000) Thèse N° 2000CLF22207
- (—) J. Y. Coxam, S. E. Gillespie, J. L. Oscarson, and R. M. Izatt, *J. Chem. Thermodyn.* 27, 1133- 1995.



Excess enthalpy of acetone (1) and hexane (2) at $-29.95\text{ }^{\circ}\text{C}$;

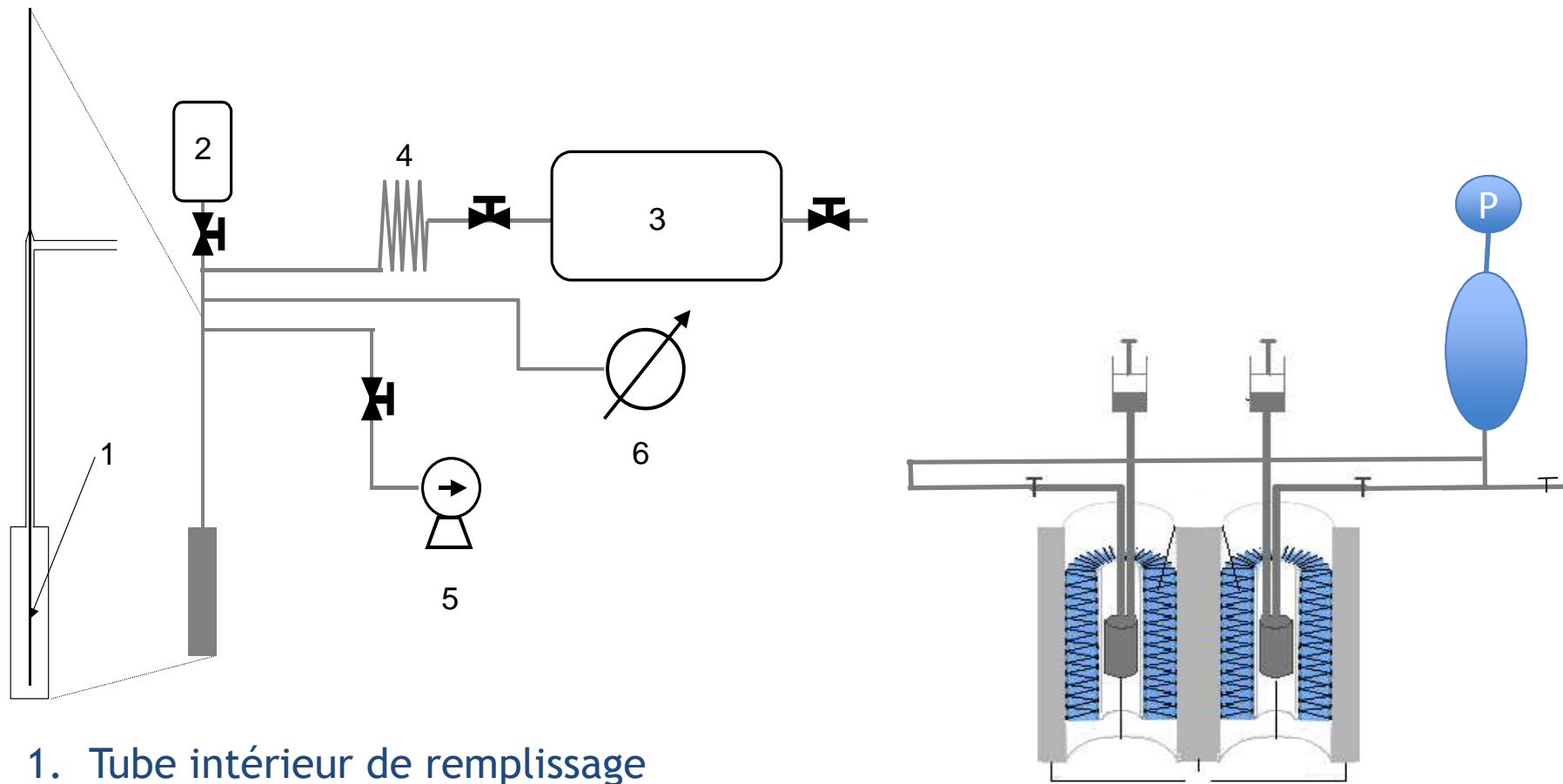
- \times Milos Polednicek (2000) Thèse N° 2000CLF22207
- (—) K. Schäfer, *Int. Data Ser., Sel. Data Mixtures, Ser. A* 74-77 (1978).

Capacités calorifiques à basse température



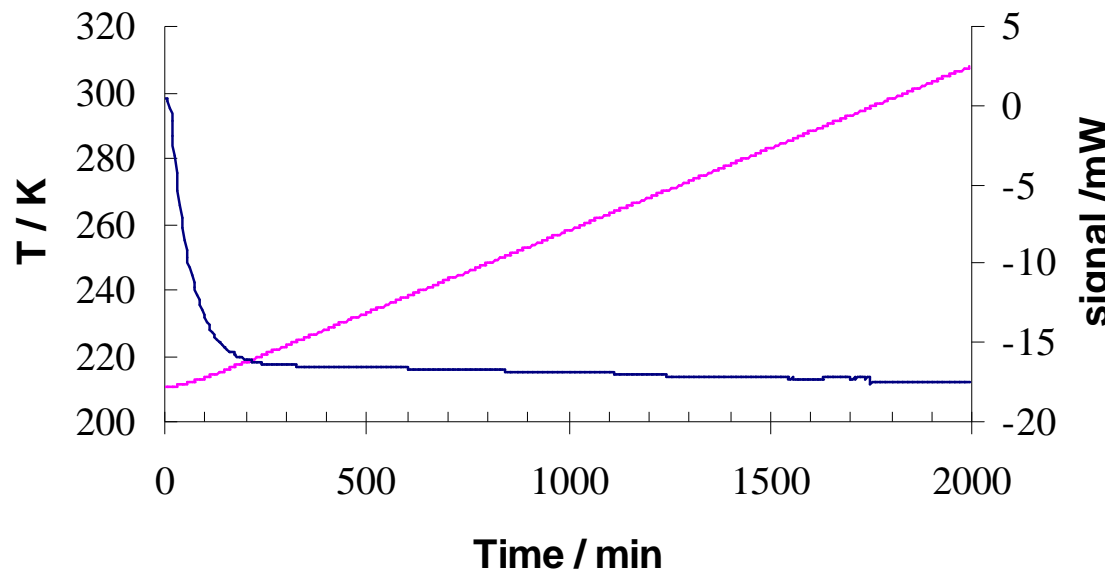
Calorimètre Setaram BT 215 modifié
Cellule : 10 mL
Balayage : 0.05 K/min
 p : jusqu'à 30 Mpa
T : 200 K – 300 K

Capacités calorifiques à basse température



5. Pompe à vide
6. Manomètre

Signal calorimétrique en balayage de température



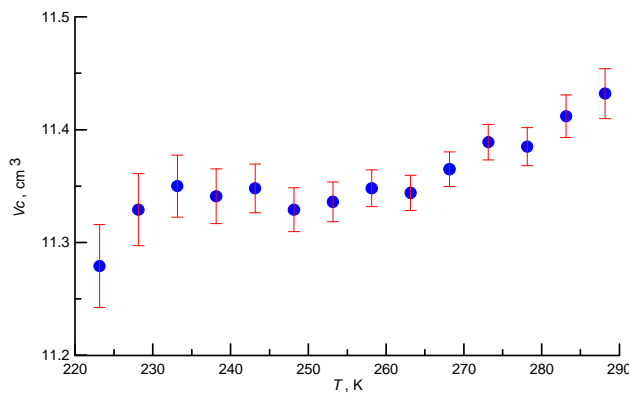
Signal-Temperature versus time curve for an experiment in continuous scanning mode at
0.05 K.min⁻¹ (BT)
5 K.min⁻¹ (μ DSC)

Capacité calorifique

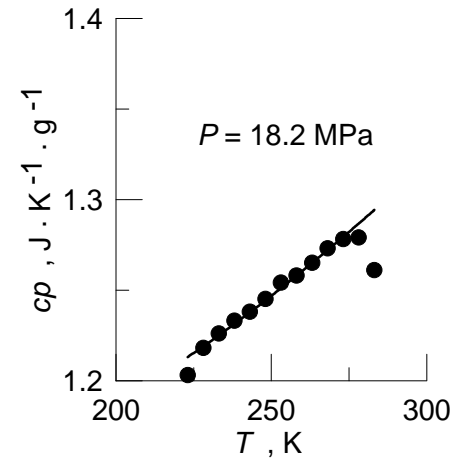
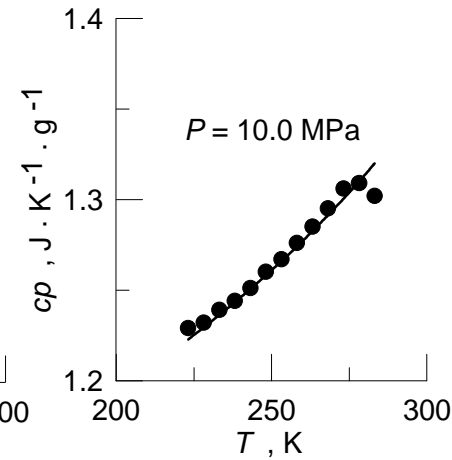
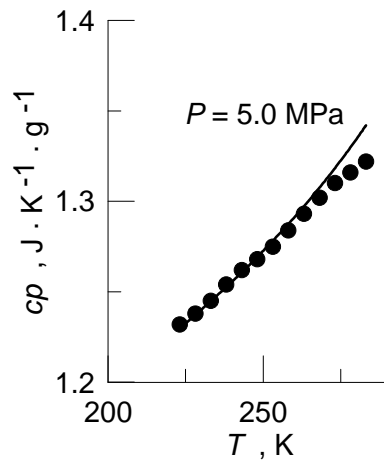
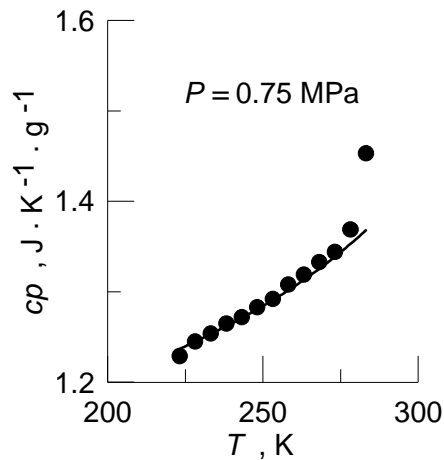
$$\dot{q}_{\text{diff}} = \dot{q}_m - \dot{q}_r = \left[(m_{f_m} c_{f_m} + m_{c_m} c_{c_m}) - (m_{f_r} c_{f_r} + m_{c_r} c_{c_r}) \right] \frac{\delta T}{\delta t}$$

$$c_p = \frac{(\dot{q}_{\text{sample}} - \dot{q}_{\text{blank}})}{m \frac{\delta T}{\delta t}}$$

m: masse de fluide dans la cellule ($m = \rho V$)
V : volume de la cellule (obtenu par calibration)



Capacité calorifique (□ 0.5 - 1 %)



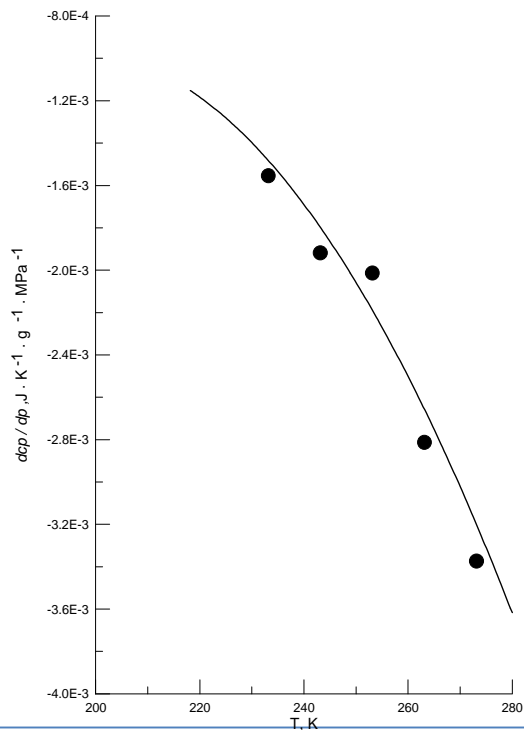
Capacité calorifique isobare freon r-134a

- (●) R. Hykrda, J.-Y. Coxam, V. Majer. Int. J. Thermophys., 2004, 25 (6), 1677-1694.
(—) R. Tillner-Roth, H. D. Baehr, J. Phys. Chem. Ref. Data 23: 657 (1994).

Capacité calorifique

Test de cohérence
avec données volumiques

$$\left(\frac{\partial cp}{\partial P} \right)_T = -T \left(\frac{\partial^2 V}{\partial T^2} \right)_P$$



r-134a at 10 Mpa

- (•) Pressure derivative experimental isobaric heat capacities
- (-) Second temperature derivative of volume.

Merci

